

# 1.-18 鉄筋コンクリートばりのせん断疲労に関する研究

山口大学工学部 正員 工博 加賀美 一ニ三  
山口大学大学院 学生員 ○三浦 正昭  
平野 寛

## I. 緒言

現在、鉄筋コンクリートばりの曲げ疲労に関する研究はかなり行われ、その疲労限も50%程度と報告されているが、せん断疲労に関する研究はまだ研究途上にあるのが現況である。著者らは、数年にわたりその研究を行ない2,3の補足実験を残して終了したものである。その実験研究の経過は、オーランとして、土木学会論文集、オ137号に投稿し、オニラムとして、土木学会中四国支部の昭和42年度技術講演会にて発表したところである。今回の実験もせん断破壊が顕著に現われると考えられる $\varphi/d$ が1に近い二点負荷とし、丸鋼低鉄筋コンクリートばり(丸鋼URC)、異形低鉄筋コンクリートばり(異形URC)各6供試体計12供試体を造形し、スパン120cm、強制力の振動周期rpm 200にて、最低荷重は1セヒとし、最高荷重は先行して行なった静的試験の破壊荷重を基として決定し、疲労試験を実施した。また、丸鋼および異形低鉄筋コンクリートばりについて、検討中であるので、後ほど、まとめて報告する予定である。本研究において、鉄筋コンクリートばりのせん断疲労限は、くり返し回数100万回において、N-S関係より、丸鋼および異形低鉄筋コンクリートばりとも、0.45Pa程度と認められ、さらに、ひずみの変化も荷重段階が0.45Pa程度で、ほぼ安定していくことより、これを立証しているものと考えられる。さらに、たわみ、ひずみ、ひびわれおよび破壊、破断荷重より鉄筋コンクリートばりの破壊機構を追究し、 $\varphi/d$ および破壊曲げモーメント  $M_u$ による破壊様相の判定の立証をなし、また、はりの運動方程式よりすぐに説明している動的挙動下におけるたわみ値、曲げモーメント値およびせん断力値の理論値を計算し照査したものである。

## II. 実験供試体

セメントは普通ポルトランドセメントを用い、骨材は碎石粗骨材と一般砂で、 $O_{ck}=150 \text{ kg/cm}^2$  とし、鉄筋は普通丸鋼と異形丸鋼を用い、公称径および降伏応力度は、丸のものの $13\text{mm}$ ,  $12.7\text{mm}$  および $2995 \text{ kg/cm}^2$ ,  $3740 \text{ kg/cm}^2$  である。はり供試体の設計図およびペーパーストレインゲージの位置、荷重状態を示すと、図-1, 2のとおりである。

図-1. 丸鋼低鉄筋コンクリートばりの設計図  
スチールφ3mmφ 100cc

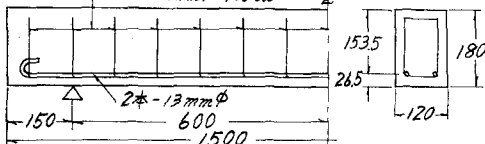
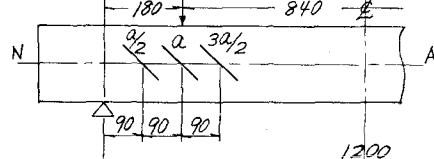


図-2. ストレインゲージの位置と荷重状態



## III. 実験結果および考察

(1)  $\varphi/d$ による破壊領域の判定は、静荷重載荷の場合と同様に、くり返し荷重載荷の場合にも適用できる。本実験では、せん断破壊の領域を示し、実際の破壊状態と完全に一致した。

(2) ひびわれが現しくて、曲げひびわれの間隔は、異形低鉄筋ばりでは、ほぼ等間隔に生じ、その長

さは、異形鉄筋による付着力の影響で、異形低鉄筋ばかりが丸鋼低鉄筋ばかりより短かい。また、ひずみの長さの大きい曲げひびわれは、スパン中央よりも支点近くに生じる傾向が認められた。これは、斜引張りひびわれの発生によりひずみの再分配が生じ、ひずみ分布が曲げモーメントに比例した分布とはならず、支点寄りに大きなひずみを生じるのではないかと考えられる。つぎに、斜引張りひびわれは  $0.45 P_u$  程度以下の荷重では発生しない。また、丸鋼、異形低鉄筋ばかりと共に、Double shear crack が生じ、後者においては特に顕著に現われた。これは、後者においては、異形鉄筋により付着力が大きくなりとしく安定であるから、斜引張り応力度  $O_t$  の影響が均一に幅広く現われ、くり返し荷重の影響により逐次、Peeling away action によって、いやゆる Double shear crack の現象を生じるものと考えられる。

(3) 最大ひずみの誘起点は、斜引張りひびわれの発生により大部分のはりにおいて、せん断スパンの中央、多くは支点寄りにあり、くり返し荷重載荷の動的挙動下においては、せん断応力の再分配のため  $\alpha_1$  と  $\alpha_2$  の間の Double shear 区間に生じる傾向が認められた。また、荷重段階が  $0.50 P_u$  程度以上では、ひずみの変化が著しく、 $0.45 P_u$  程度では、ほぼ安定し、この点から、鉄筋コンクリートばかりのせん断疲労限は  $0.45 P_u$  と考えられる。一例として、丸鋼低鉄筋ばかり、 $0.44 P_u$  の場合のひずみの変化を示すと図-3 のとおりである。

#### (4) 破壊荷重および破断荷重

の測定結果とその比較は表-1 のとおりである。破壊、破断荷重とも静的試験の場合より低下し、破壊荷重については、 $0.65 P_u$  程度まで漸次低下し、それ以下では荷重段階ごとに低下の割合が小さくなる。これは  $0.65 P_u$  程度までは疲労の影響

が大きく、それ以下の低い荷重段階では、ひずみ効果など的原因が加わって、はり強度の低下が小さくなるものと考えられる。破断荷重については、丸鋼低鉄筋ばかりが異形低鉄筋ばかりより、低下の割合がややかに小さいようであるが、これは、前者はくり返し荷重によるとひずみ効果の影響ではなく

図-3. 疲労試験、丸鋼低鉄筋ばかり、 $0.44 P_u$  の

$\alpha/2$  点と  $\alpha$  点のひずみの変化

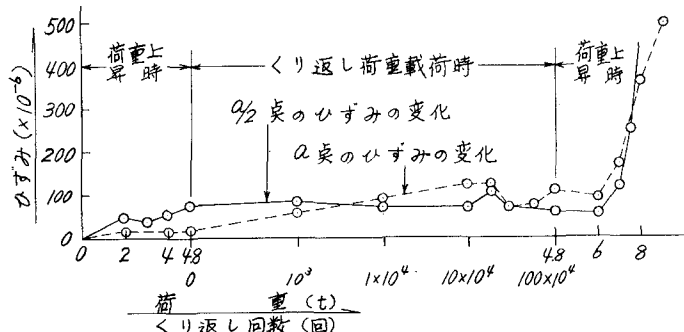


表-1. 破壊荷重と破断荷重の測定結果およびその比較

はりの種類	荷重段階	初期斜めひずみ荷重 (t)	初期斜めひずみ荷重 (t)		疲労試験の 破壊荷重 静的破壊荷重	疲労試験の 破断荷重 静的破断荷重
			くり返し回数 0	くり返し回数 $10^4$		
丸鋼低鉄筋ばかり	静的試験	—	5.6	11.0	13.4	—
	0.80 P <sub>u</sub>	1	6.0	8.8	11.0	0.80
	0.66 P <sub>u</sub>	2	2.4 × 10 <sup>4</sup>	7.2	11.0	0.66
	0.57 P <sub>u</sub>	3	100 × 10 <sup>4</sup>	5.5	8.1	0.74
	0.50 P <sub>u</sub>	4	42 × 10 <sup>4</sup>	5.0	10.0	11.4
	0.44 P <sub>u</sub>	5	100 × 10 <sup>4</sup>	8.8	9.5	11.4
異形低鉄筋ばかり	静的試験	—	7.0	10.0	13.9	—
	0.75 P <sub>u</sub>	1	1.100	6.5	7.5	11.1
	0.65 P <sub>u</sub>	2	8.200	5.0	6.5	10.6
	0.485 P <sub>u</sub>	3	100 × 10 <sup>4</sup>	4.85	8.3	10.1
	0.45 P <sub>u</sub>	4	65 × 10 <sup>4</sup>	7.3	9.8	11.7
	0.75 P <sub>u</sub>	5	8.8 × 10 <sup>4</sup>	6.3	8.8	9.8

の強度の低下が小さくなるのに比して、後者は異形鉄筋のふしによる応力集中のために、強度の低下が大きくなるものと思われる。

(3) 表-1 に示したくり返し回数と破壊荷重より、縦軸に破壊荷重比、 $S$ 、横軸にくり返し回数比、 $N$  をとって、最小自乗法を適用して  $N-S$  曲線を求める。図-4 のようになる。図から明らかたように丸鋼および異形低鉄筋ばかりとも同一曲線

となり、くり返し回数 100 万回において破壊荷重比が 0.46 であることから、鉄筋コンクリートばかりのせん断疲労限は  $0.45 P_u$  程度と考えられ、これは、ひずみの変化による考察と一致する。

(4) すぐに誇張している動的たわみ、曲げモーメント、せん断力の理論式の値は、たわみ値は、実測値とよく一致し、曲げモーメント、せん断力値は、静的曲げモーメント、せん断力値よりもはるかに小さくなる結果を得た。一例として、次式より求めたせん断力値  $S_{da}$  を示すと表-2 の通りである。

$$S_{da} = 0.396 P_0 + 0.319 P_0 \gamma^2 \left\{ \frac{0.809}{\gamma^2 - \frac{\omega^2}{P_1^2}} + \frac{0.476}{\gamma^2 - \frac{\omega^2}{P_2^2}} + \frac{0.103}{\gamma^2 - \frac{\omega^2}{P_3^2}} - \frac{0.147}{\gamma^2 - \frac{\omega^2}{P_4^2}} \right\}$$

#### IV. 結 言

(1)  $\eta_{dl}$  による鉄筋コンクリートばかりの破壊領域の判定は、静的試験の場合と同様に、疲労試験にも適用できる。

(2) 丸鋼、異形低鉄筋ばかりとも、Double shear crack を生じ、特に後者において著しい。曲げひびわれは、静的の場合より疲労試験の方が大きく、最大の曲げひびわれは、スパン中央よりも支点近くに生じる傾向が認められた。

(3) 最大ひずみは動的挙動下では Double shear 区間に生じるが、斜引張りひびわれの発生によりせん断スパンの中央に生じる。動的挙動下におけるひずみの変化は、荷重段階が  $0.45 P_u$  程度で安定する。したがって、このことから、せん断疲労限は  $0.45 P_u$  程度と考えられる。

(4) 破壊荷重および破断荷重とも静的試験の場合より小さくなる。

(5)  $N-S$  関係より丸鋼、異形低鉄筋ばかりとも、くり返し回数 100 万回において破壊荷重比が 0.45 程度となることから、せん断疲労限は、 $0.45 P_u$  程度と考えられ、ひずみの考察と一致する。

(6) 動的たわみ値、曲げモーメント値、せん断力値の理論計算結果は、良好なる結果を得た。

以上が研究結果であるが、鉄筋コンクリートばかりのせん断疲労限は、丸鋼低鉄筋ばかりおよび異形低鉄筋ばかりとも、 $0.45 P_u$  であると考えられる。

本実験を行なうにあたり、ご協力いただいた長谷川博氏、兼行啓治氏、42 年度の卒論の有富範伊(山口大学大学院)、井手雄生(千葉県)、会田憲義(北九州市)、小金建(熊谷組)、四郎丸聰(前田建設)の諸君に感謝の意を表する。

図-4.  $N-S$  曲線図

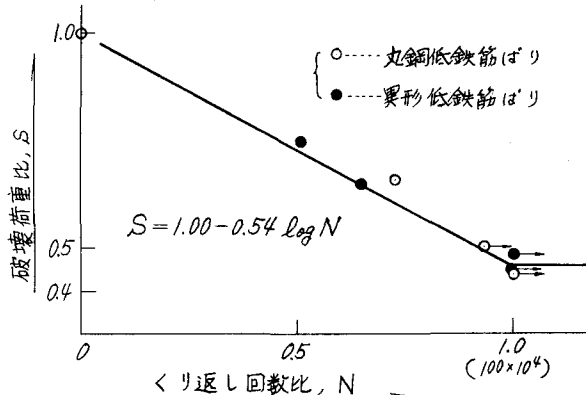


表-2. せん断力値の計算結果.

種類	荷重段階 くり返し回数	荷重あわせ Sda (kg)	S Sta. (kg)	$S_{da}/S_{sta}$
丸 鋼 低 鉄 筋 ば り	0.80 $P_u$	6.0 ±	2671	0.89
	0.66 $P_u$	6,000	3234	0.89
	0.57 $P_u$	$1 \times 10^4$	2786	0.89
	0.50 $P_u$	$5 \times 10^4$	2449	0.89
	0.44 $P_u$	$100 \times 10^4$	2069	0.86
異 形 低 鉄 筋 ば り	0.75 $P_u$	7.0 ±	3187	0.91
	0.65 $P_u$	1,800	2925	0.90
	0.485 $P_u$	100	2173	2425
	0.45 $P_u$	$10 \times 10^4$	1996	2250
	0.75 $P_u$	5.0 ±	2255	0.90